

НИЗКОПОЛЕВАЯ ЭЛЕКТРОДИНАМИКА ПОЛИКРИСТАЛЛИЧЕСКИХ СВЕРХПРОВОДНИКОВ SnMo_6S_8 И PbMo_6S_8

C. Л. Гинзбург, И. Д. Лузянин, И. Р. Мецхваришвили,
Э. Г. Таровик, В. П. Хавронин*

*Санкт-Петербургский институт ядерной физики
188350, Гатчина, Россия*

Поступила в редакцию 22 августа 2000 г.

Теоретически и экспериментально исследованы линейный и нелинейный динамические отклики на проникновение в поликристаллические сверхпроводники очень слабых (порядка 10^{-2} Э) магнитных полей. Результаты экспериментов показывают удовлетворительное согласие с выводами низкополевой электродинамики.

PACS: 74.25.Na, 74.25.Nf

1. ВВЕДЕНИЕ

Известно, что магнитные поля, меньшие первого критического поля, не проникают в сверхпроводники. Однако это утверждение становится неверным, если сверхпроводник является многосвязной системой, например, поликристаллом, в котором кристаллиты связаны между собой джозефсоновскими контактами. А так как в джозефсоновские контакты легко могут проникать очень слабые поля, то можно предположить, что такие поля будут проникать и в поликристаллические сверхпроводники. Аналогичная ситуация имеет место в керамических ВТСП, в которых гранулы связаны слабыми джозефсоновскими контактами, при этом экспериментально наблюдается широкий класс необратимых и нелинейных явлений, объяснение которых дано в рамках низкополевой электродинамики [1, 2]. Однако, насколько нам известно, проникновение очень слабых магнитных полей в поликристаллические сверхпроводники до сих пор не изучалось.

Настоящая работа посвящена исследованиям проникновения ультраслабых магнитных полей в сверхпроводящие поликристаллические образцы составов SnMo_6S_8 и PbMo_6S_8 . Этот выбор был сделан потому, что халькогениды молибдена имеют

большую величину H_{c2} и, соответственно, очень малую длину когерентности $\xi \approx 23 \text{ \AA}$. Это роднит их с ВТСП, у которых ξ порядка нескольких ангстрем. Поэтому есть основания ожидать, что при таких ξ любой, даже малый, дефект будет играть роль джозефсоновского контакта. Результаты наших экспериментов показали, что, во-первых, в такой сверхпроводник действительно проникают очень слабые магнитные поля, порядка нескольких миллиэрстед, и, во-вторых, полученные экспериментальные данные соответствуют предсказаниям низкополевой электродинамики.

2. ТЕОРИЯ

Напомним, что первоначально низкополевая электродинамика возникла для гранулярных ВТСП и основана на двух положениях.

1. К керамическим сверхпроводникам применима модель критического состояния Бина [3]. Хорошо известно, что критическое состояние сверхпроводника является сильно неравновесным и описывается пространственно-неоднородной магнитной индукцией $\mathbf{B}(\mathbf{r})$. Для ее определения используется уравнение критического состояния, которое содержит, в частности, зависимость равновесной индукции от магнитного поля $B_{eg}(H) \approx \mu_{eff} H$ (μ_{eff} — эффективная

*E-mail: savitska@thd.pnpi.spb.ru

магнитная проницаемость керамики, учитывающая непроникновение поля в гранулы). Поэтому задача сводится к определению неоднородного магнитного поля $H(\mathbf{r})$, для которого уравнение критического состояния имеет вид [3–5]

$$\left| \frac{dH}{dx} \right| = 4\pi j_c(H), \quad (1)$$

где $j_c(H) = \alpha(H)/H$. Средняя индукция для бесконечной пластинки толщиной d равна

$$\bar{B} = \frac{2}{d} \mu_{eff} \int_0^{d/2} H(x) dx.$$

В уравнении (1) величина $\alpha(H)$ — сила пиннига, $j_c(H)$ имеет смысл плотности критического тока и является феноменологической функцией H .

Отметим, что существует несколько моделей, дающих разные зависимости $j_c(H)$. Например, для различных образцов керамики YBaCuO экспериментально [2, 6] было определено, что

$$j_c(H) = \frac{j_0 H_0}{|h| + H_0}, \quad j_c(H) = \frac{j_0 H_0^2}{h^2 + H_0^2}. \quad (2)$$

Здесь H_0 — некоторое характерное поле, равное примерно 3 Т.

Случай $H_0 \rightarrow \infty$ приводит к модели Бина [3], в которой j_c не зависит от H . Случай $H_0 = 0$, $j_0 H_0 = \text{const}$ в первой формуле (2) соответствует модели Кима—Андерсона [5], в которой сила пиннига $\alpha(H)$ не зависит от H . Вообще говоря, не существует теоретически обоснованного выбора функции $j_c(H)$.

2. В джозефсоновской среде могут наблюдаться две качественно различные картины проникновения магнитного поля, реализация которых зависит от безразмерного параметра β (его определение будет дано ниже), характеризующего число квантов потока на элементарный контур, образованный соседними гранулами. Когда $\beta \ll 1$, гранулярный сверхпроводник ведет себя как классический сверхпроводник второго рода, в который поле проникает в виде вихрей, и анизотропия, наведенная этим полем, становится существенным фактором. Во втором случае, когда $\beta \gg 1$, как показано в работе одного из авторов [7], становится важной дискретность джозефсоновой среды, которая в этом случае описывается уравнениями, эквивалентными уравнениям для систем с самоорганизованной критичностью [8].

В работе [9] был рассмотрен подход, позволяющий однозначно различить эти два предельных случая и соответствующие им совершенно разные физические картины.

Этот подход непосредственно связан с очень важной и довольно слабо изученной проблемой продольных токов в жестких сверхпроводниках второго рода. Напомним кратко суть этой проблемы. Как известно [10], если имеются неразрезаемые вихри и пиннинг, то продольный относительно магнитного поля критический ток $j_{c\parallel}$ равен бесконечности (на самом деле он равен току распаривания), а продольное электрическое поле E_{\parallel} всегда равно нулю. Эксперимент же показал [11–16], что $j_{c\parallel}$ и $j_{c\perp}$ ($j_{c\perp}$ — плотность поперечного критического тока) одного порядка, а E_{\parallel} отлично от нуля. Для объяснения этих явлений была предложена модель разрезания вихревых линий [17–20] (на макроскопическом языке теория разрезания вихревых линий была сформулирована в [21–27]), согласно которой внешние магнитные поля, не параллельные друг другу, проникают в сверхпроводник путем взаимного разрезания образованных ими вихрей с их последующим перекрестным восстановлением. В результате возникают конечные $j_{c\parallel}$ и E_{\parallel} . В этом случае локальная вольт-амперная характеристика (ВАХ), связывающая электрическое поле \mathbf{E} и плотность тока \mathbf{j} , является сильно анизотропной относительно вектора индукции \mathbf{B} . Все вышесказанное относится и к джозефсоновской среде в случае $\beta \ll 1$.

С другой стороны, если $\beta \gg 1$, то, как показано в [9], локальная ВАХ не зависит от угла между током и магнитным полем и является изотропной. Таким образом, если на опыте выяснить, является ли локальная ВАХ изотропной или нет, то можно различить континуальный ($\beta \ll 1$) и дискретный ($\beta \gg 1$) случаи.

2.1. Континуальное приближение в теории джозефсоновской среды

В этом разделе мы покажем, как возникает параметр β , а затем для случая $\beta \ll 1$ получим выражение для ВАХ в модели разрезания вихревых линий.

Если гранула имеет фазу φ , то ток между гранулами i и j равен

$$j_{ij} = -4eJ_{ij} \sin(\varphi_i - \varphi_j + 2eA_{ij}), \\ A_{ij} = \int_{\mathbf{r}_i}^{\mathbf{r}_j} \mathbf{A} d\mathbf{l}, \quad (3)$$

где J_{ij} — интеграл перекрытия, а \mathbf{A} — вектор-потенциал.

Предположим, что $|\varphi_i - \varphi_j| \ll 1$ и $|eA_{ij}| \ll 1$. Тогда, положив

$$\varphi_i - \varphi_j = - \int_{\mathbf{r}_i}^{\mathbf{r}_j} \nabla \varphi d\mathbf{l}, \quad J_{ij} = Ja^2 \quad (4)$$

и пренебрегая флуктуациями, получим уравнение Лондонов

$$\mathbf{j}(\mathbf{r}) = \frac{4e}{a} J(\nabla \varphi - 2e\mathbf{A}). \quad (5)$$

Решение уравнений Maxwella

$$\frac{\partial \mathbf{B}}{\partial t} = -\operatorname{rot} \mathbf{E}, \quad 4\pi\mathbf{j} = \operatorname{rot} \mathbf{H} \quad (6)$$

и Лондонов (5) с учетом того, что для эффективной среды индукция \mathbf{B} связана с \mathbf{H} простым соотношением

$$\mathbf{B} = \mu_{eff} \mathbf{H}, \quad (7)$$

даст обычный эффект Мейснера с эффективной глубиной проникновения

$$\lambda_{eff}^2 = \frac{a}{32\pi Je^2\mu_{eff}} = \frac{\Phi_0}{8\pi^2 a \mu_{eff} j_c},$$

$$j_c = \frac{4e}{a^2} J, \quad \Phi_0 = \frac{\pi}{e}, \quad (8)$$

где a — характерный размер гранул, Φ_0 — квант потока.

Полученное выражение верно при $\lambda_{eff} \gg a$. Отсюда легко получить безразмерный параметр β :

$$\begin{aligned} \frac{\lambda_{eff}^2}{a^2} &= \frac{\Phi_0}{8\pi^2 \mu_{eff} j_c a^3} = \frac{1}{\beta}, \\ \beta &= 8\pi^2 \mu_{eff} \frac{j_c a^3}{\Phi_0}. \end{aligned} \quad (9)$$

Параметр β очень важен, так как характеризует число квантов потока, приходящихся на элементарный контур, образованный соседними гранулами. Для случая $\beta \ll 1$ ($\lambda_{eff} \gg a$) это означает, что каждый из вихрей охватывает много гранул и такую среду можно считать стандартным сверхпроводником второго рода. Естественно, что в этом случае применима теория разрезания вихревых линий. Если же $\beta \gg 1$, то $\lambda_{eff} \ll a$ и ясно, что изложенная выше теория становится неприменимой. (Далее для простоты положим $\mu_{eff} = 1$.)

С точки зрения электродинамики сплошных сред для описания распространения электромагнитного поля необходимо кроме двух уравнений Maxwella (6) иметь явный вид $\mathbf{E}(\mathbf{j}, \mathbf{B})$. Следуя работам [21–27], выпишем выражение для BAX с учетом пиннинга и

модели разрезания вихревых линий. В этой модели система является сильно анизотропной и локальная BAX расщепляется на два отдельных уравнения для продольных и поперечных (относительно \mathbf{B}) компонент токов и электрического поля. Положим

$$\begin{aligned} \mathbf{n} &= \frac{\mathbf{B}}{B}, \quad E_{||} = \mathbf{E} \cdot \mathbf{n}, \quad \mathbf{E}_{\perp} = \mathbf{n} \times [\mathbf{E} \times \mathbf{n}], \\ j_{||} &= \mathbf{j} \cdot \mathbf{n}, \quad \mathbf{j}_{\perp} = \mathbf{n} \times [\mathbf{j} \times \mathbf{n}], \\ \mathbf{E} &= \mathbf{n} E_{||} + \mathbf{E}_{\perp}, \quad \mathbf{j} = \mathbf{n} j_{||} + \mathbf{j}_{\perp}. \end{aligned} \quad (10)$$

Поскольку в плоскости, перпендикулярной \mathbf{B} , имеется только одно выделенное направление, \mathbf{j}_{\perp} , то BAX в модели разрезания вихревых линий имеет следующий вид:

$$\begin{aligned} E_{||} &= 0, \quad |j_{||}| < j_{c||}, \\ E_{||} &= \rho_{||}(j_{||} - j_{c||} \operatorname{sign} j_{||}), \quad |j_{||}| > j_{c||}, \\ \mathbf{E}_{\perp} &= E_{\perp} \frac{\mathbf{j}_{\perp}}{j_{\perp}}, \quad j_{\perp} = |\mathbf{j}_{\perp}|, \\ E_{\perp} &= 0, \quad j_{\perp} < j_{c\perp}, \\ E_{\perp} &= \rho_{\perp}(j_{\perp} - j_{c\perp}), \quad j_{\perp} > j_{c\perp}. \end{aligned} \quad (11)$$

Здесь $\rho_{||, \perp}$ — продольное и поперечное удельные сопротивления в надкритическом ($j_{||, \perp} > j_{c||, \perp}$) состоянии, $\operatorname{sign} x$ — знаковая функция.

Из (10) и (11) получаем окончательный вид BAX:

$$\mathbf{E} = \mathbf{n} E_{||}(j_{||}) + \frac{\mathbf{j}_{\perp}}{j_{\perp}} E_{\perp}(j_{\perp}). \quad (12)$$

Уравнения Maxwella (6) и BAX (12) составляют полную систему уравнений. Заметим, что $\rho_{||, \perp}$ и $j_{||, \perp}$, вообще говоря, зависят от модуля \mathbf{B} .

2.2. Уравнения критического состояния для модели разрезания вихревых линий в плоской геометрии

Так как в экспериментах использовались образцы в виде тонкого диска, то в последующем все рассмотрение будет проводиться в плоской геометрии.

Рассмотрим пластину, бесконечную в плоскости yz и толщиной d по оси x . Если внешнее поле \mathbf{H} параллельно плоскости yz , то все величины \mathbf{B} , \mathbf{E} , \mathbf{j} тоже лежат в этой плоскости и зависят только от x . Уравнения Maxwella в этой геометрии имеют вид

$$\frac{\partial \mathbf{B}}{\partial t} = -\mathbf{e}_x \times \frac{\partial \mathbf{E}}{\partial x}, \quad 4\pi\mathbf{j} = \mathbf{e}_x \times \frac{\partial \mathbf{B}}{\partial x}. \quad (13)$$

Введем теперь единичные векторы $\mathbf{n}(x)$ и $\mathbf{m}(x)$, параллельный и перпендикулярный вектору $\mathbf{B}(x)$:

$$\mathbf{n}(x) = \mathbf{e}_z \cos \alpha(x) + \mathbf{e}_y \sin \alpha(x),$$

$$\begin{aligned} \mathbf{m}(x) &= -\mathbf{e}_x \times \mathbf{n}(x) = \\ &= -\mathbf{e}_z \sin \alpha(x) + \mathbf{e}_y \cos \alpha(x), \end{aligned} \quad (14)$$

где α — угол между \mathbf{B} и осью z . Определим $E_{\parallel}, E_{\perp}, j_{\parallel}$ и j_{\perp} как

$$\mathbf{E} = E_{\parallel} \mathbf{n} + E_{\perp} \mathbf{m}, \quad \mathbf{j} = j_{\parallel} \mathbf{n} + j_{\perp} \mathbf{m}. \quad (15)$$

В плоской геометрии E_{\perp} и j_{\perp} становятся скалярами. Удобно переписать уравнения (13) в терминах B , α , $E_{\perp,\parallel}$ и $j_{\perp,\parallel}$:

$$\begin{aligned} 4\pi j_{\parallel} &= B \frac{\partial \alpha}{\partial x}, \quad 4\pi j_{\perp} = -\frac{\partial B}{\partial x}, \\ \frac{\partial B}{\partial t} &= -E_{\parallel} \frac{\partial \alpha}{\partial x} - \frac{\partial E_{\perp}}{\partial x}, \\ B \frac{\partial \alpha}{\partial t} &= -E_{\perp} \frac{\partial \alpha}{\partial x} + \frac{\partial E_{\parallel}}{\partial x}. \end{aligned} \quad (16)$$

Из (16) видно, что продольный ток определяет изменение направления, а поперечный — модуля \mathbf{B} .

Уравнения (11) для ВАХ в модели разрезания вихревых линий в этом случае примут вид

$$\begin{aligned} E_{\parallel} &= 0, \quad |j_{\parallel}| < j_{c\parallel}, \\ E_{\parallel} &= \rho_{\parallel}(j_{\parallel} - j_{c\parallel} \operatorname{sign} j_{\parallel}), \quad |j_{\parallel}| > j_{c\parallel}, \\ E_{\perp} &= 0, \quad |j_{\perp}| < j_{\perp}, \\ E_{\perp} &= \rho_{\perp}(j_{\perp} - j_{c\perp} \operatorname{sign} j_{\perp}), \quad |j_{\perp}| > j_{c\perp}. \end{aligned} \quad (17)$$

Часто удобнее пользоваться зависимостью $j(E)$, а не $E(j)$. В этом случае, используя $\sigma_{\perp,\parallel} = 1/\rho_{\perp,\parallel}$, получим

$$\begin{aligned} j_{\perp} &= j_{c\perp} \operatorname{sign} E_{\perp} + \sigma_{\perp} E_{\perp}, \\ j_{\parallel} &= j_{c\parallel} \operatorname{sign} E_{\parallel} + \sigma_{\parallel} E_{\parallel}. \end{aligned} \quad (18)$$

Если изменение внешнего поля происходит достаточно медленно, то, как видно из (16), $|E_{\parallel}|$ и $|E_{\perp}|$ стремятся к нулю и можно считать, что j_{\parallel} и j_{\perp} близки к своим критическим значениям. Тогда

$$j_{\parallel} = j_{c\parallel} \operatorname{sign} E_{\parallel}, \quad j_{\perp} = j_{c\perp} \operatorname{sign} E_{\perp}, \quad (19)$$

являются уравнениями критического состояния для продольного и поперечного токов, определенными при $E_{\parallel,\perp} \rightarrow 0$. Если изменение магнитного поля прекращается, то \mathbf{E} обращается в нуль, однако токи не исчезают и остаются равными

$$j_{\parallel} = \pm j_{c\parallel}, \quad j_{\perp} = \pm j_{c\perp}, \quad (20)$$

причем знак плюс или минус зависит от знака $E_{\perp,\parallel}$ до того, как $E_{\perp,\parallel}$ обратились в нуль. Эта двузначность тока и определяет гистерезисные свойства критического состояния.

Таким образом, уравнения (20) являются обобщением обычного уравнения критического состояния для случая пиннинга и модели разрезания вихревых линий, когда имеются и продольный, и поперечный критические токи.

2.3. Уравнения критического состояния в случае $\beta \gg 1$. Модель изотропной локальной ВАХ

Физически условие $\beta \gg 1$ означает, что на элементарный контур приходится много квантов потока ($\beta \sim \Phi/\Phi_0$). Как показано в [7], в этом случае локальная ВАХ не зависит от угла между \mathbf{j} и \mathbf{B} . В [7] была рассмотрена модель с кубической симметрией, поэтому локальная ВАХ обладала такой же симметрией. Керамика, конечно, кубической симметрией не обладает, а должна иметь сферическую симметрию. Будем предполагать, что в этом случае локальная ВАХ имеет следующий вид:

$$\mathbf{E} = E(j) \frac{\mathbf{j}}{j},$$

$$E(j) = \begin{cases} 0, & j < j_c, \\ \rho(j - j_c), & j > j_c. \end{cases} \quad (21)$$

Другими словами,

$$\mathbf{j} = j_c \frac{\mathbf{E}}{E} + \sigma \mathbf{E}, \quad \sigma = \frac{1}{\rho}. \quad (22)$$

Назовем локальную ВАХ в виде (21) или (22) изотропной ВАХ. Тогда уравнение критического состояния при малых E имеет вид

$$\mathbf{j} = j_c \frac{\mathbf{E}}{E}. \quad (23)$$

Заметим, что эта модель, только на другом языке, была предложена Бином [28].

Выражения для ВАХ в изотропной модели и модели разрезания вихревых линий резко отличаются друг от друга. Во-первых, изотропная ВАХ не зависит от углов между \mathbf{j} и \mathbf{B} . Во-вторых, в (23)

$$j^2 = j_{\parallel}^2 + j_{\perp}^2 = j_c^2, \quad (24)$$

а j_{\parallel}^2 и j_{\perp}^2 в отдельности не фиксированы, в то время как для ВАХ в модели разрезания вихревых линий они не изменяются.

В случае пластины получим из (23)

$$j_{\parallel} = j_c \frac{E_{\parallel}}{\sqrt{E_{\parallel}^2 + E_{\perp}^2}}, \quad j_{\perp} = j_c \frac{E_{\perp}}{\sqrt{E_{\parallel}^2 + E_{\perp}^2}}. \quad (25)$$

На первый взгляд, отличие (24) от (19) не очень существенно, но на самом деле это не так, поскольку j_{\parallel} и j_{\perp} определяются уже не только «своими» полями, E_{\parallel} и E_{\perp} , но и «чужими», не так, как в модели разрезания вихревых линий. В простых случаях решения в обеих моделях очень схожи, однако в более сложных ситуациях оказываются совершенно разными.

В последующих разделах будет рассмотрено проникновение линейно-поляризованного переменного поля амплитуды h_0 при наличии постоянного поля H для анизотропной и изотропной моделей. Причем всегда будем считать, что, во-первых, $h_0 \ll H$ и, во-вторых, постоянное поле направлено только вдоль оси z , а переменное $h(t) = h_0 \cos \omega t$ лежит в плоскости zy под углом γ к \mathbf{H} . Таким образом, при $x = 0$ имеем

$$\begin{aligned} \mathbf{H}(0, t) &= H \mathbf{e}_z + \mathbf{h}(t), \quad h_0/H \ll 1, \\ \mathbf{h} &= h_z \mathbf{e}_z + h_y \mathbf{e}_y, \\ h_z &= h_0 \cos \gamma \cos \omega t, \\ h_y &= h_0 \sin \gamma \cos \omega t. \end{aligned} \quad (26)$$

2.4. Линейно-поляризованное переменное магнитное поле в сильном постоянном поле в модели разрезания вихревых линий

Поле $H \mathbf{e}_z$ проникает на расстояние $x_0 = H/4\pi j_{c\perp}$, а поле $\mathbf{h}(t)$ на расстояние порядка $h_0/(4\pi j_{c1}) = x_1 \ll x_0$, где j_{c1} имеет смысл $j_{c\parallel, \perp}$ в модели разрезания вихревых линий и j_c в изотропной модели. Очевидно, что при $x < x_1$

$$\mathbf{H}(x, t) = H \mathbf{e}_z + \mathbf{h}(x, t). \quad (27)$$

Подставим (27) в уравнения Maxwella для плоской геометрии (16), учтем ВАХ в модели разрезания вихревых линий и линеаризуем по $\mathbf{h}(x, t)$. При этом будем считать, что $j_{c\perp}$ зависит от полного \mathbf{H} . Линеаризация по \mathbf{h} сводится к выбору продольного направления по оси z , а поперечного — по оси y . Вообще говоря, надо использовать уравнения (16) и в них проводить линеаризацию. Но можно показать,

что результат будет тем же самым. Таким образом, получим две пары уравнений:

$$\begin{aligned} \frac{\partial E_z}{\partial x} &= \frac{\partial h_y}{\partial t}, \\ \frac{1}{4\pi} \frac{\partial h_y}{\partial x} &= j_{c\parallel}(H) \operatorname{sign} E_z, \\ \frac{\partial E_y}{\partial x} &= -\frac{\partial h_z}{\partial t}, \\ \frac{1}{4\pi} \frac{\partial h_z}{\partial x} &= -j_{c\perp}(H_z) \operatorname{sign} E_y, \\ H_z &= H + h_z. \end{aligned} \quad (28)$$

В (28) мы удержали только зависимость от h_z в $j_{c\perp}$. Действительно,

$$\begin{aligned} j_{c\perp, \parallel}(H) &= j_{c\perp, \parallel}(H) + \frac{\mathbf{H}\mathbf{h}}{H} \left(\frac{\partial j_{c\perp, \parallel}}{\partial H} \right) = \\ &= j_{c\perp, \parallel}(H) + h_z \left(\frac{\partial j_{c\perp, \parallel}}{\partial H} \right). \end{aligned} \quad (29)$$

Таким образом, в первом порядке по \mathbf{h} остается лишь h_z , однако в $j_{c\parallel}$ член с h_z , как легко показать, несуществен, поэтому мы его опустили, однако в $j_{c\perp}$ он приводит к появлению четных гармоник, поэтому здесь оставлен.

Мы видим, что в (28) получились две пары независимых уравнений для h_y и h_z . Это означает, что h_y и h_z проникают в образец независимо. Решение уравнений (28) даст следующие выражения для индукции $\mathbf{h}(t) = \langle \mathbf{h}(x, t) \rangle_x$:

$$\begin{aligned} \mathbf{h}(t) &= h_z(t) \mathbf{e}_z + h_y(t) \mathbf{e}_y, \\ h_z(t) &= \sum_k a_{kz} \cos k\omega t + b_{kz} \sin k\omega t, \\ h_y(t) &= \sum_k a_{ky} \cos k\omega t + b_{ky} \sin k\omega t, \\ a_{1z} &= \frac{h_0^2 \cos^2 \gamma}{4\pi j_{c\perp}(H)d}, \quad a_{1y} = \frac{h_0^2 \sin^2 \gamma}{4\pi j_{c\parallel}(H)d}, \\ a_{2k+1,z} &= a_{2k+1,y} = 0, \quad k \geq 1, \\ b_{2k+1,z} &= -\frac{h_0^2 \cos^2 \gamma}{8\pi^2 j_{c\perp}(H)d} \frac{1}{(k^2 - 1/4)(k + 3/2)}, \\ b_{2k+1,y} &= -\frac{h_0^2 \sin^2 \gamma}{8\pi^2 j_{c\parallel}(H)d} \frac{1}{(k^2 - 1/4)(k + 3/2)}, \\ a_{2z} &= \frac{h_0^3 \cos^3 \gamma}{32\pi d} \left(\frac{\partial}{\partial H} \frac{1}{j_{c\perp}(H)} \right), \\ a_{2k,z} &= 0, \quad k \geq 2, \\ a_{2k,y} &= 0, \end{aligned}$$

$$b_{2k,z} = -\frac{h_0^3 \cos^3 \gamma}{16\pi^2 d} \frac{k}{(k^2 - 1/4)(k^2 - 9/4)} \times \\ \times \left(\frac{\partial}{\partial H} \frac{1}{j_{c\perp}(H)} \right), \quad (30)$$

$$b_{2k,y} = 0.$$

Из (30) видно, что z - и y -компоненты осциллируют независимо друг от друга со своими j_c , нечетные гармоники пропорциональны $h_0^2 \cos^2 \gamma$ и $h_0^2 \sin^2 \gamma$, а четные гармоники отличны от нуля лишь для z -й компоненты и пропорциональны $h_0^3 \cos^3 \gamma$.

2.5. Линейно-поляризованное переменное поле в сильном постоянном поле в изотропной модели

Пусть, как и в предыдущем случае, переменное поле направлено под углом γ к постоянному, т. е. положим

$$\mathbf{h} = h(t) \mathbf{n}_0, \quad h(t) = h_0 \cos \omega t,$$

$$\mathbf{n}_0 = \mathbf{e}_z \cos \gamma + \mathbf{e}_y \sin \gamma. \quad (31)$$

Поскольку в изотропной модели нет выделенного направления по постоянному полю, то направление задается только вектором \mathbf{n}_0 . Это означает, что

$$\mathbf{H}(x, t) = H \mathbf{e}_z + \mathbf{h}(x, t), \quad \mathbf{h}(x, t) = h(x, t) \mathbf{n}_0,$$

$$\mathbf{E}(x, t) = E(x, t) \mathbf{m}_0, \quad \mathbf{m}_0 = -\mathbf{e}_x \times \mathbf{n}_0. \quad (32)$$

Тогда из уравнений Максвелла (13) для плоской геометрии получим с учетом (23) для h и E :

$$\frac{\partial E}{\partial x} = -\frac{\partial h}{\partial t}, \quad 4\pi j_c(B) \operatorname{sign} E = -\frac{\partial h}{\partial x}. \quad (33)$$

Уравнения (33) являются обычными уравнениями критического состояния. Разница возникнет лишь при разложении $j_c^{-1}(H)$ по h при вычислении четных гармоник:

$$\frac{1}{j_c(H)} = \frac{1}{j_c(H)} + \mathbf{h} \left(\frac{\partial}{\partial \mathbf{H}} \frac{1}{j_c(H)} \right) = \\ = \frac{1}{j_c(H)} + h(\mathbf{n}_0 \mathbf{e}_z) \left(\frac{\partial}{\partial H} \frac{1}{j_c(H)} \right) = \\ = \frac{1}{j_c(H)} + h \cos \gamma \left(\frac{\partial}{\partial H} \frac{1}{j_c(H)} \right). \quad (34)$$

Таким образом, в этом разложении мы имеем лишний $\cos \gamma$ по сравнению со случаем, когда \mathbf{h}_0 и \mathbf{H} параллельны. В результате получим

$$\mathbf{h}(x, t) = \sum_k (\mathbf{a}_k \cos k\omega t + \mathbf{b}_k \sin k\omega t),$$

$$\mathbf{a}_1 = \frac{h_0^2}{4\pi j_c(H)d} \mathbf{n}_0,$$

$$a_{2k+1} = 0, \quad k \geq 1,$$

$$\mathbf{b}_{2k+1} = -\frac{h_0^2}{8\pi^2 j_c(H)d} \frac{1}{(k^2 - 1/4)(k+3/2)} \mathbf{n}_0, \quad (35)$$

$$\mathbf{a}_{2k} = \frac{h_0^3 \cos \gamma}{32\pi d} \mathbf{n}_0 \left(\frac{\partial}{\partial H} \frac{1}{j_c(H)} \right), \\ a_{2k} = 0, \quad k \geq 2,$$

$$\mathbf{b}_{2k} = -\frac{h_0^3 \cos \gamma}{16\pi^2 d} \frac{k}{(k^2 - 1/4)(k^2 - 9/4)} \times \\ \times \mathbf{n}_0 \left(\frac{\partial}{\partial H} \frac{1}{j_c(H)} \right).$$

Для z - и y -компонент получим тогда

$$a_{1z} = \frac{h_0^2}{4\pi j_c(H)d} \cos \gamma, \quad a_{1y} = \frac{h_0^2}{4\pi j_c(H)d} \sin \gamma,$$

$$a_{2k+1,z} = a_{2k+1,y} = 0, \quad k \geq 1,$$

$$b_{2k+1,z} = -\frac{h_0^2 \cos \gamma}{8\pi^2 j_c(H)d} \frac{1}{(k^2 - 1/4)(k+3/2)},$$

$$b_{2k+1,y} = -\frac{h_0^2 \sin \gamma}{8\pi^2 j_c(H)d} \frac{1}{(k^2 - 1/4)(k+3/2)},$$

$$a_{2z} = \frac{h_0^3 \cos^2 \gamma}{32\pi d} \left(\frac{\partial}{\partial H} \frac{1}{j_c(H)} \right),$$

$$a_{2y} = \frac{h_0^3 \sin \gamma \cos \gamma}{32\pi d} \left(\frac{\partial}{\partial H} \frac{1}{j_c(H)} \right), \quad (36)$$

$$a_{2k,z} = a_{2k,y} = 0, \quad k \geq 2,$$

$$b_{2k,z} = -\frac{h_0^3 \cos^2 \gamma}{16\pi^2 d} \frac{k}{(k^2 - 1/4)(k^2 - 9/4)} \times \\ \times \left(\frac{\partial}{\partial H} \frac{1}{j_c(H)} \right),$$

$$b_{2k,y} = -\frac{h_0^3 \sin \gamma \cos \gamma}{16\pi^2 d} \frac{k}{(k^2 - 1/4)(k^2 - 9/4)} \times \\ \times \left(\frac{\partial}{\partial H} \frac{1}{j_c(H)} \right).$$

Таким образом, мы видим, что изотропная модель сильно отличается от модели разрезания вихревых линий, во-первых, по виду угловой зависимости гармоник и, во-вторых, тем, что отличны от нуля четные гармоники $a_{2k,y}$ и $b_{2k,y}$, которые были равны нулю в модели разрезания вихревых линий.

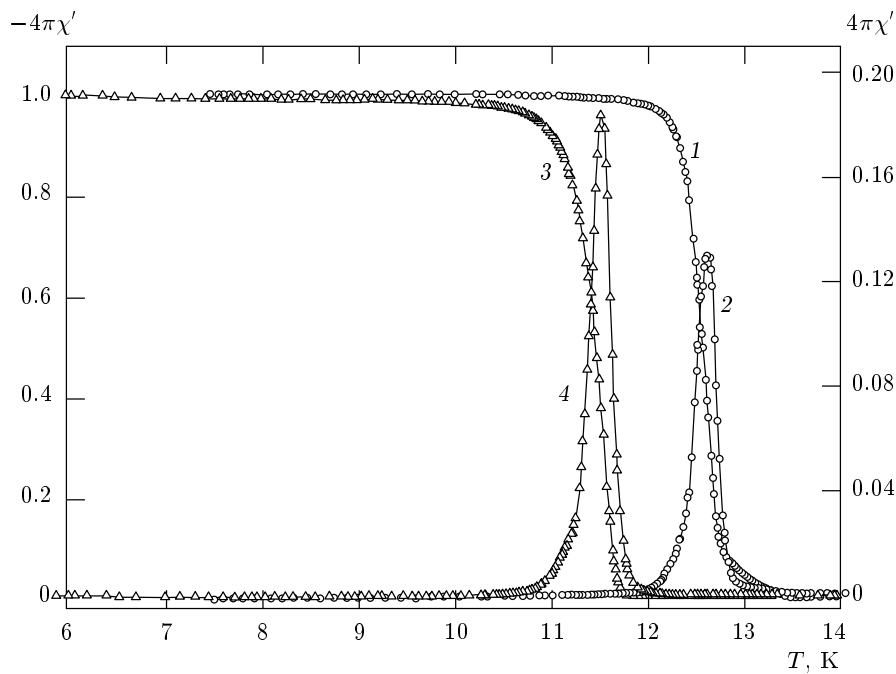


Рис. 1. Температурные зависимости действительной (1, 3) и мнимой (2, 4) частей линейной восприимчивости соответственно для образцов SnMo_6S_8 и PbMo_6S_8 , $H = 0$, $h_0 = 1 \text{ Э}$

3. ЭКСПЕРИМЕНТ

Основной целью экспериментальной части было выяснение вопроса о применимости концепции низкополевой электродинамики к поликристаллическим сверхпроводникам типа халькогенидов молибдена и влияния анизотропии, наведенной постоянным магнитным полем, на картину проникновения в сверхпроводник слабого переменного поля, направленного под углом к постоянному. Для решения этих задач изучались зависимости высших гармоник индукции от амплитуд переменного и постоянного магнитных полей и от угла между ними.

Эксперименты проводились на поликристаллических образцах SnMo_6S_8 и PbMo_6S_8 , имеющих форму диска диаметром 9.4 мм и толщиной 3.4 мм. Исследуемый образец помещался в измерительную катушку, служащую также источником переменного магнитного поля. Постоянное поле создавалось внешним соленоидом. Измерения линейного и нелинейного откликов проводились от 4.2 К до $T > T_c$ на частотах в диапазоне 10^3 – 10^5 Гц, в интервале полей $10^{-2} \text{ Э} \leq h_0 \leq 1 \text{ Э}$, $H \leq 20 \text{ Э}$. Для изучения полевых и температурных зависимостей действительной и мнимой частей линейной восприимчивости (χ' и χ''), а также модулей амплитуд высших гармоник $c_n = (a_n^2 + b_n^2)^{1/2}$ ($n = 2, 3, \dots$) использовался под-

ход, ранее применявшийся при изучении низкополевой электродинамики гранулярных ВТСП (см., например, [2]).

Рассмотрим сначала результаты изучения температурного и полевого поведения линейной и нелинейной восприимчивостей в случае коллинеарных полей ($\gamma = 0$). Очевидно, что для такой конфигурации выражения (30) и (36) тождественны. Тогда с учетом μ_{eff} имеем

$$\begin{aligned} a_0 &= \mu_{eff} 2H, \quad a_1 = \frac{\mu_{eff} h_0^2}{4\pi j_c(H)d}, \\ a_{2k+1} &= 0, \quad k \geq 1, \\ b_{2k+1} &= -\frac{\mu_{eff} h_0^2}{8\pi^2 j_c(H)d} \frac{1}{(k^2 - 1/4)(k + 3/2)}, \\ a_2 &= \frac{\mu_{eff} h_0^3}{32\pi d} \left(\frac{\partial}{\partial H} \frac{1}{j_c(H)} \right), \quad a_{2k} = 0, \quad k \geq 2, \quad (37) \\ b_{2k} &= \frac{\mu_{eff} h_0^3}{16\pi^2 d} \left(\frac{\partial}{\partial H} \frac{1}{j_c(H)} \right) \times \\ &\quad \times \frac{k}{(k^2 - 1/4)(k^2 - 9/4)}. \end{aligned}$$

Отметим, что в наших экспериментах детально изучалось температурное и полевое поведение χ' ,

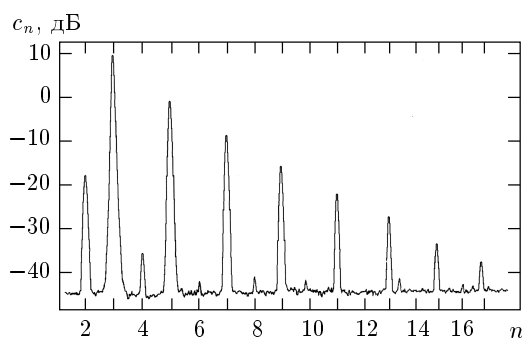


Рис. 2. Спектр высших гармоник (PbMo_6S_8),
 $H = 6 \text{ Э}, h_0 = 0.8 \text{ Э}, T = 11 \text{ К}$

χ'' , связанных непосредственно с a_1 и b_1 , а также модулей амплитуд 3-й и 5-й гармоник (c_3 и c_5). Величины a_1 и b_1 определялись через измеренные значения действительной и мнимой частей восприимчивости. Очевидно, что в пределе $h_0 \rightarrow 0$, $\chi' = -1/4\pi$. Поэтому χ' может быть представлена как $\chi'(h_0) = -1/4\pi + \chi'_h(h_0)$. Тогда

$$\begin{aligned} a_1 &= (1 + 4\pi\chi')h_0 = 4\pi h_0 \chi'_h(h_0), \\ b_1 &= 4\pi h_0 \chi''(h_0). \end{aligned} \quad (38)$$

Из температурных зависимостей действительной части линейной восприимчивости (рис. 1) следует, что переход в сверхпроводящее состояние для исследуемых образцов начинается при температурах, типичных для этого класса соединений (см., например, [29]). На этом же графике приведены зависимости $\chi''(T)$, имеющие максимум, характерный для сверхпроводников второго рода.

Ярко выраженные нелинейные свойства исследуемых поликристаллов демонстрирует спектр высших гармоник. Так, спектр, полученный для PbMo_6S_8 (рис. 2), свидетельствует о слабом убывании амплитуды гармоник с увеличением их номера. Отметим, что в случае SnMo_6S_8 четные гармоники не наблюдались и при $H \neq 0$.

На рисунке 3 приведены температурные зависимости восприимчивости $\chi_3 = c_3/h_0$ для разных значений амплитуды переменного поля h_0 , которые полностью аналогичны подобным зависимостям для керамических ВТСП (см., например, [2]). Их характерной чертой является наличие двух максимумов. Высокотемпературный максимум может быть обусловлен проникновением поля в кристаллы, а низкотемпературный — только в джозефсоновскую среду, образованную слабыми связями между кристаллитами (отметим, что в случае PbMo_6S_8 высокотемпературный максимум в зависимости $\chi_3(T)$ не на-

Отношение амплитуд соседних гармоник для SnMo_6S_8

	Отношение		
	a_1/b_1	b_1/c_3	c_3/c_5
Теория	2.3	5	7
Эксперимент	2.2 ± 0.2	3.5 ± 0.3	9.5 ± 1.2

блюдался). Положение низкотемпературного максимума сдвигается в сторону низких температур с увеличением h_0 , что связано с переходом от режима, в котором поле проникало до середины образца, к режиму, в котором поле проникало лишь в часть образца. В последнем случае легко реализовать условие слабого поля, $h_0 \ll H$, и, следовательно, с помощью выражения (37) проверить применимость выводов теории критического состояния к исследуемым поликристаллам. В дальнейшем обсуждение результатов эксперимента будет проводится лишь для этого предельного случая.

На рисунке 4 представлены зависимости a_1 , b_1 , c_3 и c_5 (при $H \neq 0$) от h_0 для PbMo_6S_8 . Видно, что в согласии с выводами теории, нечетные гармоники проявляют квадратичную зависимость от h_0 , а вторая гармоника — кубическую. Отметим, что масштаб индукции, наведенной переменным полем (от 0.01 мЭ до 1 Э), меняется от 1 мГц до 0.1 Гц. Аналогичные зависимости для a_1 , b_1 , c_3 и c_5 были получены и для SnMo_6S_8 .

Уравнение (37) содержит две независимые величины μ_{eff} и j_0 , которые не определялись в наших экспериментах независимым образом. Поэтому, чтобы сравнить теоретические и экспериментальные результаты, представляется разумным рассматривать отношения a_1/b_1 , b_1/c_3 и т. д., которые согласно (37) не должны зависеть от μ_{eff} и j_0 . Как следует из таблицы, эти экспериментально определенные отношения хорошо согласуются с теоретическим предсказанием.

Изучая поведение четных, пропорциональных $(\partial/\partial H)(1/j_c(H))$, и нечетных, пропорциональных $1/j_c(H)$, гармоник в постоянном поле при $h_0 = \text{const}$ и используя выражения (37), можно определить самосогласованным образом вид функции $j_c(H)$. Именно так и был получен явный вид этой функции для гранулярных ВТСП (см. (4)). Однако не такой простой оказалась ситуация с зависимостью от постоянного магнитного поля (рис. 5) для PbMo_6S_8 . Как видно на этом рисунке, начиная с $H \approx 1 \text{ Э}$, c_3 практически не зависит от H . При этом, исходя из

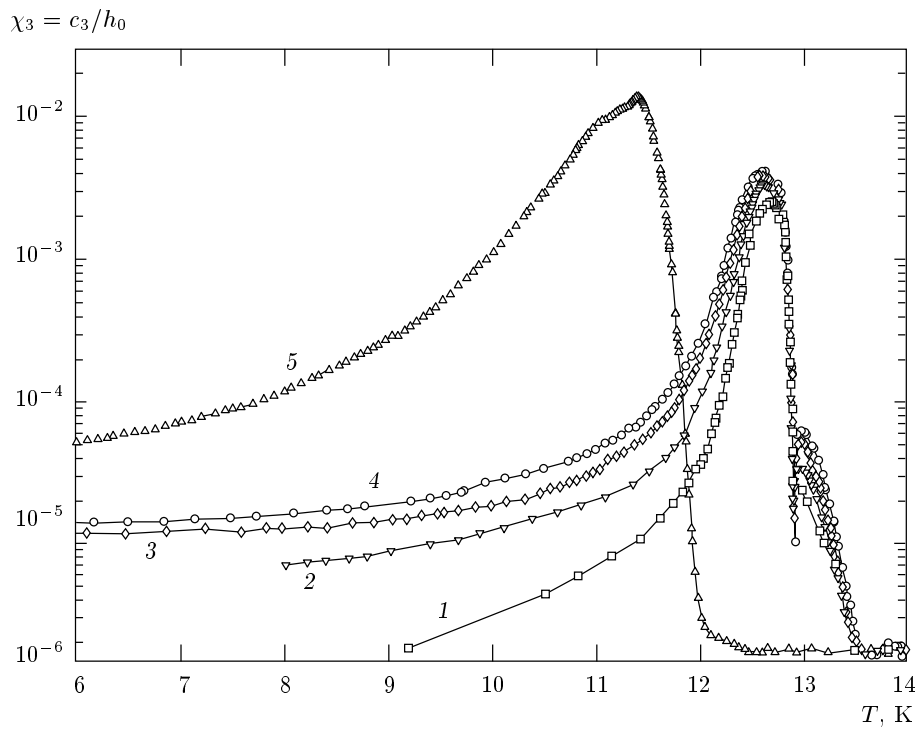


Рис. 3. Температурные зависимости нелинейной восприимчивости c_3/h_0 , полученные в отсутствие постоянного магнитного поля H при разных амплитудах переменного поля h_0 : 1 — 0.1, 2 — 0.3, 3 — 0.6, 4 — 0.9 Э (SnMo_6S_8), 5 — 0.9 Э (PbMo_6S_8)

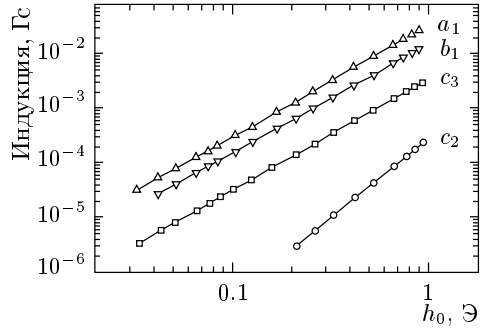


Рис. 4. Зависимость величин a_1 , b_1 , c_3 и c_2 от h_0 при $H = 6$ Э для PbMo_6S_8 , $T = 10.5$ К

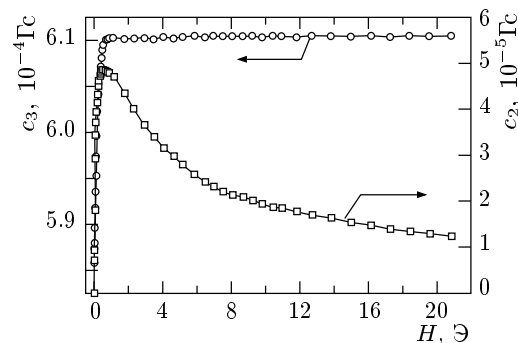


Рис. 5. Зависимость c_3 и c_2 от H при $h_0 = 0.4$ Э для PbMo_6S_8 , $T = 10.5$ К

формул (37), следовало бы ожидать отсутствие второй гармоники (как это наблюдалось для SnMo_6S_8). Однако в эксперименте с PbMo_6S_8 мы наблюдали вторую гармонику, по величине существенно превышающую ожидаемую из (37). Используя (37), составим отношение c_2/c_3 :

$$\frac{c_2}{c_3} \approx 4h_0 j_c(H) \left(\frac{\partial}{\partial H} \frac{1}{j_c(H)} \right), \quad (39)$$

которое не зависит от конкретного вида функции $j_c(H)$, т. е. безмодельно. Если вычислить производную в (39), исходя из экспериментальных данных для третьей гармоники ($c_3 \propto 1/j_c(H)$), то окажется, что отношение c_2/c_3 должно быть на 2–3 порядка меньше наблюдаемой величины, равной примерно 0.1, и в этом случае нашей чувствительности (не хуже 0.1 мкВ) было бы недостаточно для обнаружения второй гармоники (именно такая ситуация и

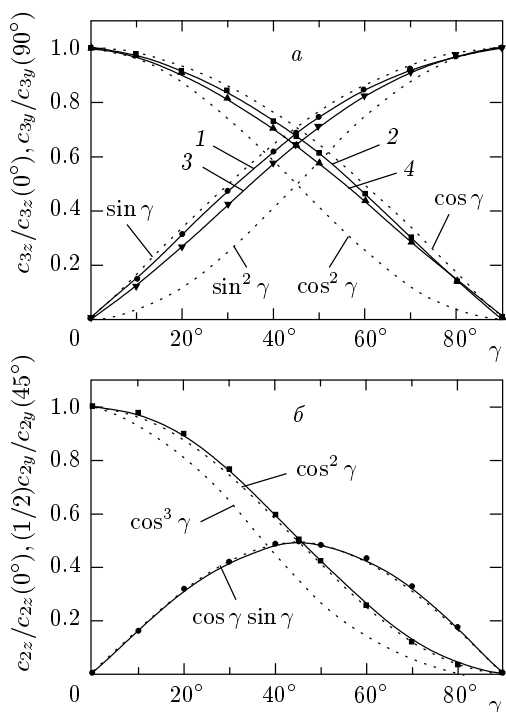


Рис. 6. а) Угловые зависимости c_{3z} и c_{3y} , нормированные к их значениям соответственно при $\gamma = 0$ и $\gamma = 90^\circ$. Кривые 1 и 2 относятся к $PbMo_6S_8$, $H = 8 \text{ Э}$, $h_0 = 0.6 \text{ Э}$, $T = 10.5 \text{ К}$, а кривые 3 и 4 — к $SnMo_6S_8$, $H = 20 \text{ Э}$, $h_0 = 0.6 \text{ Э}$; $T = 11.5 \text{ К}$. б) Угловые зависимости $c_{2z}/c_{2z}(0^\circ)$ и $(1/2)c_{2y}/c_{2y}(45^\circ)$ для $PbMo_6S_8$

наблюдалась для $SnMo_6S_8$). Однако, несмотря на такое расхождение, все остальные зависимости (полевые и угловые) прекрасно согласуются с теорией.

Следующая серия экспериментов была проведена с линейно-поляризованным переменным полем, направленным под углом γ к постоянному, и ее цель заключалась в выяснении, какой же вариант, модель разрезания вихревых линий или изотропная модель, реализуется в исследуемых поликристаллических сверхпроводниках. Из выражений (30) и (36) видно, что в первом случае $c_{3z} \propto \cos^2 \gamma$, $c_{3y} \propto \sin^2 \gamma$, при этом $c_{2z} \propto \cos^3 \gamma$ и $c_{2y} = 0$, а во втором $c_{3z} \propto \cos \gamma$, $c_{3y} \propto \sin \gamma$, при этом $c_{2z} \propto \cos^2 \gamma$ и $c_{2y} \propto \sin \gamma \cos \gamma$. Как видно на рис. 6, полученные угловые зависимости гармоник однозначно соответствуют изотропной модели. Кроме того, в пользу этой модели говорит и отличие величины второй гармоники c_{2y} от нуля при произвольных γ (кроме $\gamma = 0$ и $\gamma = \pi/2$).

4. ЗАКЛЮЧЕНИЕ

Таким образом, результаты наших экспериментов показывают, что поликристаллический сверхпроводник в слабых полях ведет себя так же, как и ВТСП-керамика, как стандартная джозефсоновская среда. В этих системах наблюдались необратимые и нелинейные явления, характерные для низкопольевой электродинамики в джозефсоновских средах.

Авторы благодарны А. В. Митину (ИФП им. П. Л. Капицы РАН) за полезные обсуждения результатов работы и предоставление образцов.

Работа выполнена при финансовой поддержке Научного совета направления «Сверхпроводимость» программы «Актуальные направления физики конденсированных сред» (проект 96021 «Профиль»), подпрограммы «Статистическая физика» Государственной научно-технической программы «Физика квантовых и волновых процессов» (проект VIII-3), а также Российского фонда фундаментальных исследований (проект 00-02-16729).

ЛИТЕРАТУРА

1. J. R. Clem, Physica C **153–155**, 50 (1988).
2. S. L. Ginzburg, V. P. Khavronin, G. Yu. Logvinova, I. D. Luzyanin, J. Herrmann, B. Lippold, H. Borner, and H. Schmiedel, Physica C **174**, 109 (1991).
3. C. P. Bean, Rev. Mod. Phys. **36**, 31 (1964).
4. Y. B. Kim, C. F. Hempstead, and A. R. Strnad, Phys. Rev. **131**, 2486 (1963).
5. P. W. Anderson and Y. B. Kim, Rev. Mod. Phys. **36**, 39 (1964).
6. I. D. Luzyanin, S. L. Ginzburg, V. P. Khavronin, and G. Yu. Logvinova, Phys. Lett. A **141**, 85 (1989).
7. С. Л. Гинзбург, ЖЭТФ **106**, 607 (1994).
8. P. Bak, C. Tang, and K. Wiesenfeld, Phys. Rev. A **38**, 364 (1988).
9. S. L. Ginzburg, V. P. Khavronin, and I. D. Luzyanin, Supercond. Sci. Technol. **11**, 255 (1998).
10. A. M. Campbell and J. E. Evets, *Critical Currents in Superconductors*, Taylor and Francis, London (1972), p. 243.
11. R. Boyer and M. A. R. LeBlanc, Sol. St. Comm. **24**, 261 (1977).

12. G. Fillion, R. Gauthier, and M. A. R. LeBlanc, Phys. Rev. Lett. **43**, 86 (1979).
13. R. Boyer, G. Fillion, and M. A. R. LeBlanc, J. Appl. Phys. **51**, 1692 (1980).
14. J. R. Cave and M. A. R. LeBlanc, J. Appl. Phys. **53**, 1631 (1982).
15. M. A. R. LeBlanc and J. R. Lorrain, J. Appl. Phys. **55**, 4035 (1984).
16. M. A. R. LeBlanc, D. LeBlanc, A. Golebiowski, and G. Fillion, Phys. Rev. Lett. **66**, 3309 (1991).
17. E. H. Brandt, J. R. Clem, and D. G. Walmsley, J. Low Temp. Phys. **37**, 43 (1979).
18. J. R. Clem, J. Low Temp. Phys. **38**, 353 (1980).
19. E. H. Brandt, J. Low Temp. Phys. **39**, 41 (1980).
20. J. R. Clem and S. Yeh, J. Low Temp. Phys. **39**, 173 (1980).
21. J. R. Clem, Phys. Rev. B **26**, 2463 (1982).
22. J. R. Clem and A. Perez-Gonzalez, Phys. Rev. B **30**, 5041 (1984).
23. A. Perez-Gonzalez and J. R. Clem, Phys. Rev. B **31**, 7048 (1985).
24. A. Perez-Gonzalez and J. R. Clem, Phys. Rev. B **32**, 2909 (1985).
25. J. R. Clem and A. Perez-Gonzalez, Phys. Rev. B **33**, 1601 (1986).
26. A. Perez-Gonzalez and J. R. Clem, Phys. Rev. B **42**, 4100 (1990).
27. A. Perez-Gonzalez and J. R. Clem, Phys. Rev. B **43**, 7792 (1991).
28. C. P. Bean, J. Appl. Phys. **41**, 2482 (1970).
29. Н. Е. Алексеевский, А. В. Митин, Е. П. Хлыбов, ЖЭТФ **82**, 927 (1982).